

(HUANJING KEXUE)

## ENVIRONMENTAL SCIENCE

第33卷 第7期

Vol.33 No.7

2012

中国科学院生态环境研究中心 主办



### 採货券及 (HUANJING KEXUE)

### ENVIRONMENTAL SCIENCE

第33卷 第7期 2012年7月15日

### 目 次

三峡库首秭归地区大气降水硫同位素组成及示踪研究 吴起鑫 韩贵琳(2145)
三峡库首秭归地区大气降水硫同位素组成及示踪研究 — 吴起鑫,韩贵琳(2145)成都春季生物质燃烧和沙尘期间气溶胶散射特征及其重建 — 岳建华,陶俊,林泽健,朱李华,曹军骥,罗磊(2151)太湖上空大气气溶胶光学厚度及其特征分析 — 饶加旺,马荣华,段洪涛,姜广甲,尚琳琳,周琳(2158)环上海地区干霾气溶胶垂直分布的季节变化特征 — 徐婷婷,秦艳,耿福海,陈勇航,张华,刘琼,马骁骏(2165)南京冬季市区和郊区气溶胶中 PAHs 浓度的昼夜特征及粒径分布 — 张红亮,樊曙先,顾凯华,朱彬,范洋,祖繁,李红双,孟庆紫,何佳宝(2172)青岛大气气溶胶水溶性无机离子研究,季节分布特征 — 刘臻 祁建华 王琳 陈晓静 五全辉 高全旺(2180)
大湖上空大气气滚胶光学厚厚及甘特征分析
不上海帕又干霜与淡胶垂直入在的季节亦化特征
$\frac{1}{2}$ 本面区 $\frac{1}{2}$ 使用从至且从中间分子 $\frac{1}{2}$ 是记的证本方文 $\frac{1}{2}$ 表面区 $\frac{1}{2}$ 表面区 $\frac{1}{2}$ 表面区 $\frac{1}{2}$ 数据 $\frac{1}{2}$
用环ぐ子中区神界区、(役队下 FAIIS 你反的复数行政人位任力中。""此次主 整理集 原则化 来从 艾泽 坦敏 未处如 老庄此 每件点(2172)
来自上层层波脉 Lick U.T. H. 或了TTC。 手中八大射灯
育岛人气气浴胶水浴性无机离于研究:
城市污水处理广生成的微生物气浴胶的污染特性 邱雄辉,李彦鹏,千铁军,李美玲,与智慧,苗宝,王湘君(2191)
基十 WEPS 模型的大津郊区土壤风蚀起尘及对中心城区迁移量估算 陈刹,韩婷婷,李涛,她业齐,自志鹏,土斌(2197)
浒苔绿潮与苏北近岸海域营养盐浓度的关系研究 高嵩, 石晓勇, 王婷(2204)
福建沿海近 10 a 赤潮基本特征分析 ······ 李雪丁( 2210 )
HSPF 水文水质模型应用研究综述 ······ 李兆富,刘红玉,李燕(2217)
城市降雨径流模拟的参数不确定性分析 黄金良,林杰,杜鹏飞(2224)
利用 CDOM 吸收系数估算太湖水体表层 DOC 浓度
嘉善地区水环境敏感占水质影响权重分析及风险等级判定
重庆市盘溪河水质不同季节日变化规律及水质评价 张千千 王效科 超丽岭 景非 欧阳太云 侯培强 张烨(2251)
南京市温州水质对城市化影响强度的响应研究
中国外别河流技术上,在海中国文学专的研究
」及伊彻住所租份司尔尔境囚了大示时明九 B·帕士之河运站台来会问公本的不同日府环接甲乙公坛。
影响太丁州流域世关至间汀中的小闸尺及小境凶丁汀州 ····································
大型底栖动物生物评价指数比较与应用
青藏局原纳木错流域水体总汞的时空分布特征  土康,康世昌,郭军明,张强与,黄杰,郑伟(2288)
青藏高原纳木错湖水主要化学离子的时空变化特征 郭军明,康世昌,张强号,黄杰,王康(2295)
用物理-生态集成技术局部控制富营养化 李秋华,夏品华,吴红,林陶,张友春,李存雄,陈丽丽,杨帆(2303)
太湖氮素出入湖通量与自净能力研究 陈小锋, 揣小明, 曾巾, 刘涛, 杨柳燕(2309)
富营养湖泊沉积物中磷组分对硫酸盐的响应 袁探,华玉妹,朱端卫,赵建伟,蔡建波(2315)
巢湖表层沉积物磷的空间分布差异性研究
南京地区典型有机污染物长距离输送潜力研究 方利汀 星有方 丁中原 马子龙 柳敏 高宏(2330)
在海内陆型河和物山型码分布及其与挂久性有机污染物的相关性研究 ····· 林田 方引 陈颖军 胡利昆 郭宝刚 张千(2335)
京陈江香庄晚丰巨水体名环类区的运洗柱在
而仅在里风权农居小平夕平月在时行不行正。
电丁及初外胜区刊流几偿初中多录联本的行案小士、77年及木源
生工模形基础聚焦及和属于人民运动员的证价基础上点的ITT的
基于梯形模糊数的讥帜物里金属污染风险评价模型与头例研究
李 《, 黄 瑾 辉, 冒 光 明, 唐 晓 娇, 曰 兵, 祭 青, 犹 意 娜, 梁 建 (2352)
初海湾海岸带升发对近岸沉积物重金属的影响··················秦延文,郑丙辉,李小宝,张雷,时瑶,曹伟(2359)
崇明东滩表层沉积物重金属空间分布特征及其污染评价 李雅娟,杨世伦,侯立军,周菊珍,刘英文(2368)
白洋淀底泥重金属形态及竖向分布 李必才,何连生,杨敏,孟睿,袁冬海,席北斗,舒俭民(2376)
西南涌酸挥发硫化物浓度水平及影响因素研究 刘晓冰,温琰茂,利锋,吴昌华,段志鹏(2384)
氨氮在饮用水牛物滤池内的去除机制 刘冰、苏辉、余国忠、于鑫、赵承美、李清飞、张舒婷、魏博(2394)
氨氮在饮用水生物滤池内的去除机制 ····································
氨氮在饮用水生物滤池内的去除机制 ····································
氨氮在饮用水生物滤池内的去除机制 ····································
氨氮在饮用水生物滤池内的去除机制 ····································
氨氮在饮用水生物滤池内的去除机制
氨氮在饮用水生物滤池内的去除机制
氨氮在饮用水生物滤池内的去除机制
南京冬季市区和郊区气溶胶中 PAHs 浓度的昼夜特征及粒径分布
氨氮在饮用水生物滤池内的去除机制
A+OSA 污泥減量上之碳兀紊平衡与减量机制研究 ··································· 翟小敏, 局旭, 张 曼 更, 贾 丽, 郭 幼松(2444) 系列混合碳源在 EBPR 系统颗粒化进程中的影响研究 ····································
A+OSA 污泥減量上之碳兀紊平衡与减量机制研究 ··································· 翟小敏, 局旭, 张 曼 更, 贾 丽, 郭 幼松(2444) 系列混合碳源在 EBPR 系统颗粒化进程中的影响研究 ····································
A+OSA 污泥減量上之碳兀紊平衡与减量机制研究 ··································· 翟小敏, 局旭, 张 曼 更, 贾 丽, 郭 幼松(2444) 系列混合碳源在 EBPR 系统颗粒化进程中的影响研究 ····································
A+OSA 污泥減量上之碳兀紊平衡与减量机制研究 ··································· 翟小敏, 局旭, 张 曼 更, 贾 丽, 郭 幼松(2444) 系列混合碳源在 EBPR 系统颗粒化进程中的影响研究 ····································
A+OSA 污泥減量上之碳兀紊平衡与减量机制研究 ··································· 翟小敏, 局旭, 张 曼 更, 贾 丽, 郭 幼松(2444) 系列混合碳源在 EBPR 系统颗粒化进程中的影响研究 ····································
A+OSA 污泥減量上之碳兀紊平衡与减量机制研究 ··································· 翟小敏, 局旭, 张 曼 更, 贾 丽, 郭 幼松(2444) 系列混合碳源在 EBPR 系统颗粒化进程中的影响研究 ····································
A + OSA 污泥減量上之碳元素平衡与減量机制研究       霍小敏, 高旭, 张曼曼, 買丽, 郭幼松(2444)         系列混合碳源在 EBPR 系统颗粒化进程中的影响研究       蒋涛, 孙培德, 徐少娟(2451)         氧化还原介体催化强化 Paracoccus versutus 菌株 GW1 反硝化特性研究       李海波, 廉静, 郭延凯, 赵丽君, 杜海峰, 杨景亮, 郭建博(2458)         1 株转座子插入突变菌株 TB34 的筛选及产氢分析       刘洪艳, 王广策, 侍刘洋, 朱大玲(2464)         蜜环菌漆酶对氯酚类污染物催化降解条件优化       秦仁炳, 朱显峰, 吴珂, 张晶晶, 赵海康(2470)         双季稻田 CH4 和 N2O 排放特征及品种筛选研究       傅志强, 朱华武, 陈灿, 黄璜(2475)         闽江河口短叶茳芏湿地 CH4, 和 N2O 排放对氮十分。       华晓杰, 刘兴土, 仝川, 孙志高(2482)
A + OSA 污泥減量上之碳元素平衡与減量机制研究       霍小敏, 高旭, 张曼曼, 買丽, 郭幼松(2444)         系列混合碳源在 EBPR 系统颗粒化进程中的影响研究       蒋涛, 孙培德, 徐少娟(2451)         氧化还原介体催化强化 Paracoccus versutus 菌株 GW1 反硝化特性研究       李海波, 廉静, 郭延凯, 赵丽君, 杜海峰, 杨景亮, 郭建博(2458)         1 株转座子插入突变菌株 TB34 的筛选及产氢分析       刘洪艳, 王广策, 侍刘洋, 朱大玲(2464)         蜜环菌漆酶对氯酚类污染物催化降解条件优化       秦仁炳, 朱显峰, 吴珂, 张晶晶, 赵海康(2470)         双季稻田 CH4 和 N2O 排放特征及品种筛选研究       傅志强, 朱华武, 陈灿, 黄璜(2475)         闽江河口短叶茳芏湿地 CH4, 和 N2O 排放对氮十分。       华晓杰, 刘兴土, 仝川, 孙志高(2482)
A + OSA 污泥減量上之碳元素平衡与減量机制研究       霍小敏, 高旭, 张曼曼, 買丽, 郭幼松(2444)         系列混合碳源在 EBPR 系统颗粒化进程中的影响研究       蒋涛, 孙培德, 徐少娟(2451)         氧化还原介体催化强化 Paracoccus versutus 菌株 GW1 反硝化特性研究       李海波, 廉静, 郭延凯, 赵丽君, 杜海峰, 杨景亮, 郭建博(2458)         1 株转座子插入突变菌株 TB34 的筛选及产氢分析       刘洪艳, 王广策, 侍刘洋, 朱大玲(2464)         蜜环菌漆酶对氯酚类污染物催化降解条件优化       秦仁炳, 朱显峰, 吴珂, 张晶晶, 赵海康(2470)         双季稻田 CH4 和 N2O 排放特征及品种筛选研究       傅志强, 朱华武, 陈灿, 黄璜(2475)         闽江河口短叶茳芏湿地 CH4, 和 N2O 排放对氮十分。       华晓杰, 刘兴土, 仝川, 孙志高(2482)
A + OSA 污泥減量上之碳元素平衡与減量机制研究       霍小敏, 高旭, 张曼曼, 買丽, 郭幼松(2444)         系列混合碳源在 EBPR 系统颗粒化进程中的影响研究       蒋涛, 孙培德, 徐少娟(2451)         氧化还原介体催化强化 Paracoccus versutus 菌株 GW1 反硝化特性研究       李海波, 廉静, 郭延凯, 赵丽君, 杜海峰, 杨景亮, 郭建博(2458)         1 株转座子插入突变菌株 TB34 的筛选及产氢分析       刘洪艳, 王广策, 侍刘洋, 朱大玲(2464)         蜜环菌漆酶对氯酚类污染物催化降解条件优化       秦仁炳, 朱显峰, 吴珂, 张晶晶, 赵海康(2470)         双季稻田 CH4 和 N2O 排放特征及品种筛选研究       傅志强, 朱华武, 陈灿, 黄璜(2475)         闽江河口短叶茳芏湿地 CH4, 和 N2O 排放对氮十分。       华晓杰, 刘兴土, 仝川, 孙志高(2482)
A + OSA 污泥減量上之碳元素平衡与減量机制研究
A + OSA 污泥碱量 L Z 碳元素平衡与减量机制研究
A + OSA 污泥減量上之碳元素平衡与減量机制研究       霍小敏, 高旭, 张曼曼, 買丽, 郭幼松(2444)         系列混合碳源在 EBPR 系统颗粒化进程中的影响研究       蒋涛, 孙培德, 徐少娟(2451)         氧化还原介体催化强化 Paracoccus versutus 菌株 GW1 反硝化特性研究       李海波, 廉静, 郭延凯, 赵丽君, 杜海峰, 杨景亮, 郭建博(2458)         1 株转座子插入突变菌株 TB34 的筛选及产氢分析       刘洪艳, 王广策, 侍刘洋, 朱大玲(2464)         蜜环菌漆酶对氯酚类污染物催化降解条件优化       秦仁炳, 朱显峰, 吴珂, 张晶晶, 赵海康(2470)         双季稻田 CH4 和 N2O 排放特征及品种筛选研究       傅志强, 朱华武, 陈灿, 黄璜(2475)         闽江河口短叶茳芏湿地 CH4, 和 N2O 排放对氮十分。       华晓杰, 刘兴土, 仝川, 孙志高(2482)

# 氧化还原介体催化强化 Paracoccus versutus 菌株 GW1 反硝化特性研究

李海波,廉静,郭延凯,赵丽君,杜海峰,杨景亮,郭建博\*

(河北科技大学环境科学与工程学院,石家庄 050018)

摘要:考察了 Paracoccus versutus 菌株 GW1 的配呼吸特性及 4 种结构相似的醌类介体(AQS, $\alpha$ -AQS,AQDS 和 1,5-AQDS)催化强化 Paracoccus versutus 菌株 GW1 的反硝化过程. 结果表明,Paracoccus versutus 菌株 GW1 能利用醌类介体作为其电子传递链中的电子受体进行呼吸,使醌类介体还原为相应的氢醌形式;在 35℃ 条件下,采用间歇试验法,4 种介体浓度均为 0. 24 mmol·L<sup>-1</sup>时,可分别提高硝酸盐氮降解速率 1. 14 ~ 1. 63 倍、总氮去除速率 1. 12 ~ 2. 02 倍,其从大到小顺序为:AQDS > 1,5-AQDS > AQS >  $\alpha$ -AQS;介体可降低 Paracoccus versutus 菌株 GW1 硝酸盐降解过程中氧化还原电位约 33 ~ 75 mV;介体催化强化硝酸盐降解过程中 pH 变化趋势与空白对照组类似,最终 pH 稳定在 9. 0 左右;在 0 ~ 0. 32 mmol·L<sup>-1</sup> AQDS 浓度范围内,体系硝酸盐氮降解零级反应速率常数 K 与介体的浓度  $C_{AQDS}$  呈线性关系. 本研究为解决生物脱氮技术存在降解速率低的问题提供了有效途径.

关键词:反硝化;氧化还原介体; ORP; 相关性; 醌呼吸

中图分类号: X703.1 文献标识码: A 文章编号: 0250-3301(2012)07-2458-06

### Biocatalyst of Redox Mediators on the Denitrification by *Paracoccus versutus* Strain GW1

LI Hai-bo, LIAN Jing, GUO Yan-kai, ZHAO Li-jun, DU Hai-feng, YANG Jing-liang, GUO Jian-bo (School of Environmental Science and Engineering, Hebei University of Science and Technology, Shijiazhuang 050018, China)

Abstract: The quinone respiration process of Paracoccus versutus strain GW1 was characterized and the effects of the four redox mediators on the denitrification process were studied. The experiment results suggested that quinones were utilized by Paracoccus versutus strain GW1 as electron acceptors in the respiratory chain and reduced to hydroquinone. Batch experiments were carried out to investigate the biocatalyst effect of redox mediators as catalyst on the denitrification process at 35°C. All four redox mediators tested were able to enhance the nitrate removal efficiency and the denitrification efficiency by 1. 14-1.63 fold and 1. 12-2.02 fold, respectively. The accelerating effect from high to low was AQDS > 1,5-AQDS > AQS >  $\alpha$ -AQS. In the presence of redox mediators, the stabilized ORP values in the nitrate decomposition process were reduced by 33-75 mV. The pH variations in denitrification with redox mediators showed similar tendency to that of the conventional nitrate removal process. In the concentration range of 0-0. 32 mmol·L<sup>-1</sup>, AQDS had the best accelerating effect and a linear correlation was found for the denitrification rate K and the AQDS concentration  $c_{AQDS}$ . This study indicated that the application of redox mediators significantly improved the denitrification process by enhancing the decomposition rate.

Key words: denitrification; redox mediator; ORP; correlation; quinone respiration

近年来,由于人类活动加剧所导致的水体硝酸盐氮污染越来越严重,并有日益恶化的趋势,硝酸盐氮污染对环境经济和人体健康造成较大影响<sup>[1]</sup>.生物脱氮是去除水体中硝酸盐氮污染的最有效方法之一,但传统反硝化工艺仍存在反应速率过慢的缺点<sup>[2,3]</sup>.反硝化过程的氧化还原反应中电子供体与电子受体(硝酸盐)之间的电子传递速率通常制约着反应的快速有效进行<sup>[4]</sup>.

最近 20 年国内外学者的研究证实,具有醌类结构的许多化合物作为氧化还原介体能够加速电子供体与电子受体间的电子传递速率,如加速偶氮染料、多氯联苯化合物(PCC)、硝基芳烃化合物等污染物

的氧化/还原速率,介体成为污染物生物厌氧处理新技术的研究热点之一<sup>[5~12]</sup>. Aranda-Tamaura 等<sup>[13]</sup>研究了醌类介体对同时脱氮除硫的影响, Guo 等<sup>[14]</sup>初步研究了海藻酸钠固定化氧化还原介体对反硝化速率的加速作用. 但介体催化强化反硝化脱氮过程仍待深入系统研究. 本试验系统研究了介体对反硝化

收稿日期: 2011-11-19; 修订日期: 2012-02-03

基金项目: 国家自然科学基金项目(50978082);2010 年教育部新世纪优秀人才支持计划项目(NCET-10-0127);河北省高校重点学科建设项目;河北科技大学校立科研基金项目(X12009024)

作者简介: 李海波(1985~),男,硕士研究生,主要研究方向为水污染控制,E-mail;LHB19850725@163.com

\* 通讯联系人, E-mail: jianbguo@ 163. com

脱氮过程的影响,以期为解决反硝化速率过慢的问题提供了新的途径.

#### 1 材料与方法

### 1.1 菌种来源

菌种为本实验室驯化分离的反硝化优势菌种 Paracoccus versutus 菌株 GW1(GenBank 登录序列号: GU111570).

### 1.2 试验药品

反硝 化 培 养 基: KH<sub>2</sub>PO<sub>4</sub> (0.013 2 g·L<sup>-1</sup>), MgSO<sub>4</sub>(0.12 g·L<sup>-1</sup>),微量元素(2 mL·L<sup>-1</sup>),丁二酸 钠(5.778 g·L<sup>-1</sup>),NaNO<sub>3</sub>(2.428 g·L<sup>-1</sup>),1 mol·L<sup>-1</sup> 的 NaOH 或 HCl 调节 pH 至 7.0,121℃灭菌25 min.

介体还原培养基: KH<sub>2</sub>PO<sub>4</sub> (0.013 2 g·L<sup>-1</sup>), MgSO<sub>4</sub> (0.12 g·L<sup>-1</sup>), 微量元素(2 mL·L<sup>-1</sup>), 电子供体(丁二酸钠 5.778 g·L<sup>-1</sup>), 酵母粉(0.125 g·L<sup>-1</sup>), 1 mol·L<sup>-1</sup>的 NaOH 或 HCl 调节 pH 至 7.0,121℃灭菌 25 min.

微量元素组成: EDTA 二钠盐(63.68 mg·L<sup>-1</sup>)、  $ZnSO_4(2.2 \text{ mg·L}^{-1})$ 、 $CaCl_2(5.5 \text{ mg·L}^{-1})$ 、 $MnSO_4(4.32 \text{ mg·L}^{-1})$ 、 $FeSO_4 \cdot 7H_2O$  (5.0 mg·L<sup>-1</sup>)、  $Na_2MoO_4 \cdot 2H_2O(2.11 \text{ mg·L}^{-1})$ 、 $CuSO_4 \cdot 5H_2O$  (1.57 mg·L<sup>-1</sup>)、 $CoCl_2 \cdot 6H_2O$  (1.61 mg·L<sup>-1</sup>).

试验所选氧化还原介体: 蒽醌-2,6-二磺酸钠 (AQDS)、蒽醌-2-磺酸钠(AQS)、蒽醌-1-磺酸钠( $\alpha$ -AQS)和蒽醌-1,5-二磺酸钠(1,5-AQDS),化学结构 如图 1 所示.

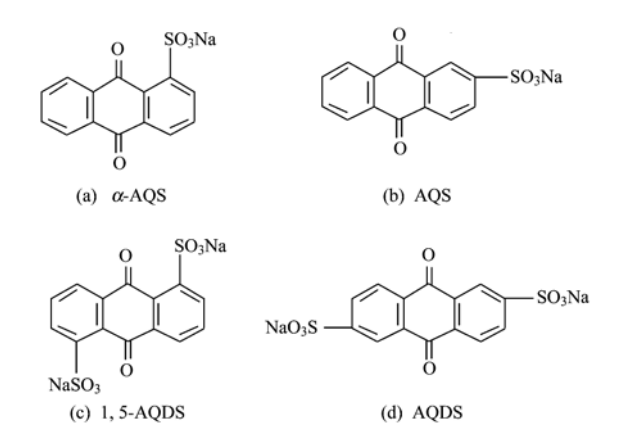


图 1 4 种醌类介体的化学结构式

Fig. 1 Chemical structures of the four redox mediators

#### 1.3 菌株的培养

将 Paracoccus versutus 菌株 GW1 的菌液按 5% 的接种量 (100 mL 液体培养基接种 D 值为 1.0 左

右的菌液 5 mL,后续试验液体接种量相同)接种在 pH 为 7.0 的反硝化培养基中,120 r·min<sup>-1</sup>,35℃培养 12 h 得反硝化 *Paracoccus versutus* 菌株 GW1 菌液.

**1.4** *Paracoccus versutus* 菌株 GW1 对氧化还原介体的还原

分别以浓度为 1 mmol·L<sup>-1</sup>的 4 种醌类介体作为最终电子受体, *Paracoccus versutus* 菌株 GW1 接种于介体还原培养基中, 用 660 nm 下的吸光度测量, 控制 *Paracoccus versutus* 菌株 GW1 的浓度在 5.7 mg·L<sup>-1</sup>以不接种菌体和不加电子供体(丁二酸钠)为对照, 测量 AQS、 $\alpha$ -AQS、AQDS 和 1,5-AQDS 各自还原态的最大吸收峰 400、400、450 和 385 nm 波长处的吸光度. 通过检测还原态醌的形成进行 *Paracoccus versutus* 菌株 GW1 利用醌类介体作为最终电子受体的醌呼吸特性研究.

#### 1.5 氧化还原介体加速反硝化的特性

用 660 nm 下的吸光度测量,控制 Paracoccus versutus 菌株 GW1 的浓度在  $5.7~\text{mg}\cdot\text{L}^{-1}$ ,根据试验条件投加适量浓度的醌类介体,采用硝酸盐氮初始浓度为  $400~\text{mg}\cdot\text{L}^{-1}$ ,C/N 比为 6~的反硝化培养基 290 mL,将其分别注入若干个 250~mL 锥形瓶中(每组试验 2~个平行样),密封,放置于  $35~\text{℃恒温水浴进行反应,考察 4 种醌类介体加速反硝化特性及AQDS 浓度对硝酸盐氮降解速率影响研究.$ 

### 1.6 测定项目与方法

硝酸盐氮采用紫外可见分光光度法测定<sup>[15]</sup>(紫外分光光度计为上海天美 UV-2600);总氮采用过硫酸钾氧化紫外分光光度法测定<sup>[15]</sup>(紫外分光光度计为上海天美 UV-2600);pH 通过酸度计测定(DELTA-320 上海梅特勒);氧化还原电位的测定使用 ORP 电极(雷磁)进行测定.

#### 2 结果与讨论

**2.1** Paracoccus versutus 菌株 GW1 利用氧化还原介体进行的醌呼吸特性

醌类介体浓度为  $1 \text{ mmol} \cdot L^{-1}$  时, *Paracoccus versutus* 菌株 GW1 利用氧化还原介体进行的醌呼吸特性结果如图 2 所示.

图 2 表明, Paracoccus versutus 菌株 GW1 在电子供体(丁二酸钠)存在的情况下,4 种醌类介体 AQS、 $\alpha$ -AQS、AQDS 和 1,5-AQDS 可被有效还原为相应的氢醌形式;不投加电子供体(丁二酸钠)时,AQS、1,5-AQDS 被还原为相应氢醌形式的吸光度略高于

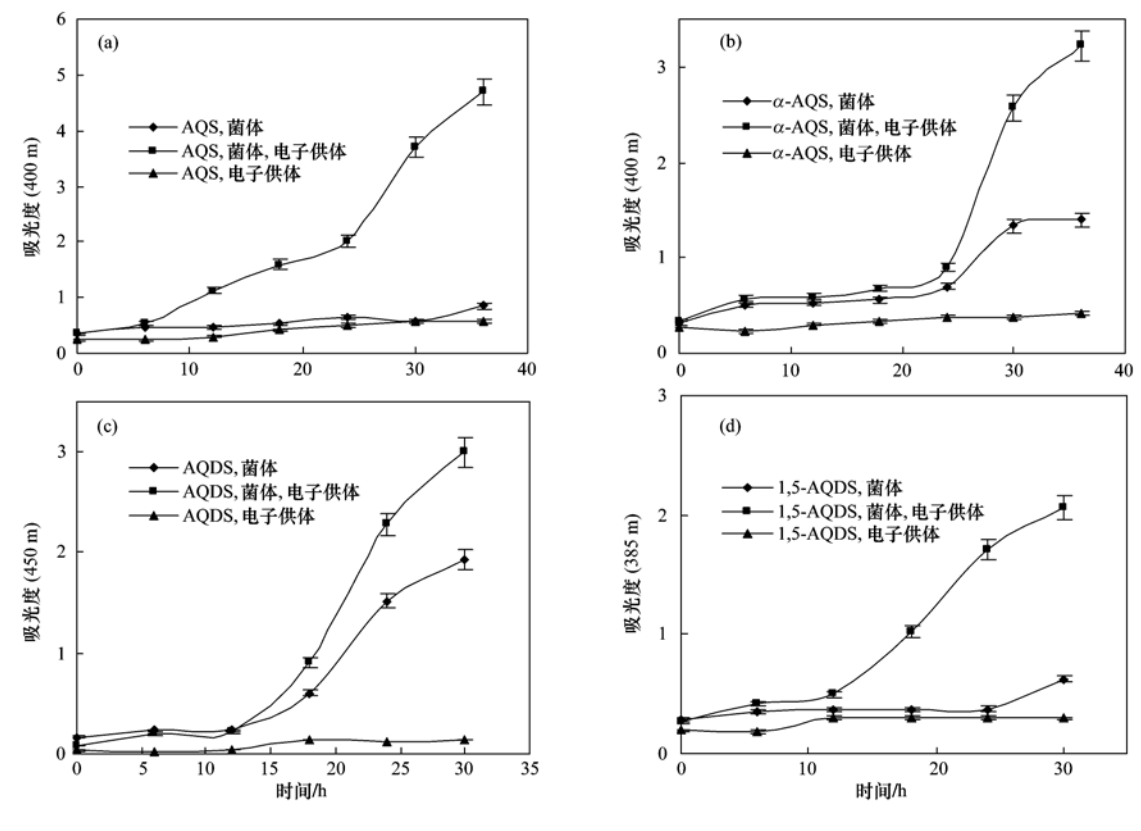


图 2 Paracoccus versutus 菌株 GW1 对醌类介体的还原

Fig. 2 Reduction of quinone mediators by Paracoccus versutus strain GW1

不接种菌体的试验组,α-AQS、AQDS 被还原为相应 氢醌形式的吸光度低于投加电子供体(丁二酸钠) 的试验组,可能是由于内源呼吸导致醌类介体的还 原;不接种菌体的情况下,吸光度基本维持不变,说 明基本没有氢醌形成. 结果表明:4 种醌类化合物均 可以接受 Paracoccus versutus 菌株 GW1 电子传递链 上的电子使其自身还原; 醌类介体的还原需要与电 子供体耦联,需要醌呼吸细菌的参与,不能发生单纯 的化学反应<sup>[16]</sup>;还原态的氢醌暴露在空气中后,颜 色很快消失,说明还原态氢醌极易被空气氧化,重新 转化为氧化态形式; Paracoccus versutus 菌株 GW1 可以利用醌作为电子受体进行醌呼吸,将醌还原为 相应的氢醌形式,利用醌类化合物传递电子,并从中 获得能量<sup>[17,18]</sup>.

# **2.2** 醌类氧化还原介体对生物反硝化过程中硝酸盐氮及总氮变化的影响

4 种醌类介体浓度均为  $0.24 \text{ mmol} \cdot \text{L}^{-1}$  时,对 Paracoccus versutus 菌株 GW1 反硝化过程中硝酸盐 氮去除率及总氮降解速率的影响,结果如图 3.4 所示.

图 3 表明,在菌株 Paracoccus versutus 菌株 GW1 硝酸盐氮降解试验进行 18 h 时,4 种醌类介体

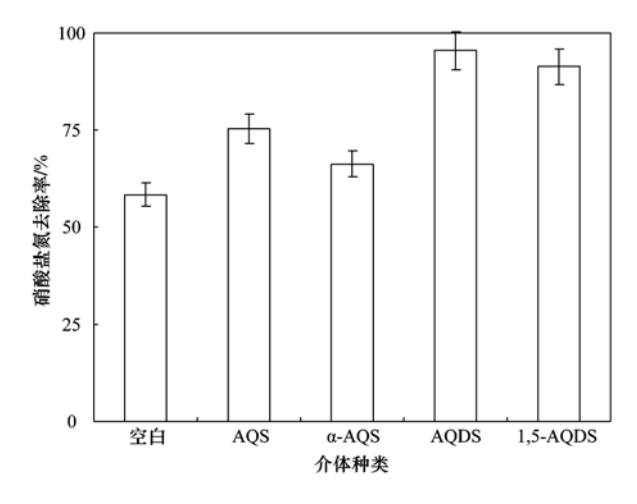


图 3 不同醌类介体加速硝酸盐氮去除率(18 h)的比较

Fig. 3 Comparison of nitrate removal ratios in denitrification systems with different redox mediators (18 h)

AQDS、1,5-AQDS、AQS 和 α-AQS 对菌株 *Paracoccus versutus* 硝酸盐氮去除率的加速效果不同,去除率分别为 95. 4%、91. 4%、73. 2% 和 66. 2%,可分别提高硝酸盐氮降解效率 1. 63、1. 56、1. 26 和 1. 14 倍. 其快慢顺序为: AQDS > 1,5-AQDS > AQS > α-AQS.

图 4 表明, 4 种醌类介体 AQDS、1,5-AQDS、AQS 和 α-AQS 均对 *Paracoccus versutus* 菌株 GW1 的

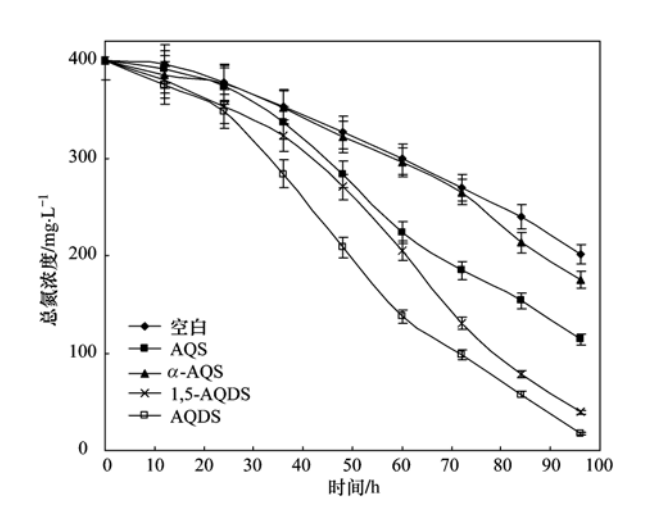


图 4 不同醌类介体加速反硝化过程中总氮去除速率的比较

Fig. 4 Comparison of nitrogen removal ratios in denitrification systems with different redox mediators

反硝化过程具有加速作用. 可分别提高反硝化速率 2.02、1.97、1.52 和 1.12 倍. 其加速快慢顺序为: AQDS > 1,5-AQDS > AQS > α-AQS. 反硝化过程中没有出现氢醌积累的现象; 反硝化进行完全后, 出现氢醌的积累. 可见 Paracoccus versutus 菌株 GW1 反硝化过程中进行醌呼吸将醌类介体还原为氢醌后, 氢醌又将电子传递于电子受体(硝酸盐); 当反应体系缺少电子受体时(硝酸盐)可造成氢醌的积累.

介体加速反硝化的可能原因为: Paracoccus versutus 菌株 GW1 反硝化过程中可进行醌呼吸将电子传递链上的电子传递给醌类介体将其还原成氢醌,醌-氢醌间的氧化还原反应是可逆的,氢醌又可被氧化成醌类将电子传递给电子受体(硝酸盐)<sup>[19]</sup>. 醌类介体在醌呼吸菌、电子受体(硝酸钠)间加速电子的传递<sup>[20]</sup>. 这种醌-氢醌氧化还原体系在生理生化过程中有重要意义<sup>[21]</sup>. 生物体的氧化还原作用是以脱氢氧化和加氢还原的方式进行的,在酶的控制下醌-氢醌氧化还原体系参与并加速 Paracoccus versutus 菌株 GW1 反硝化过程中的电子传递.

# 2.3 醌类氧化还原介体加速 Paracoccus versutus 菌株 GW1 硝酸盐氮去除过程中 ORP 的变化

4 种醌类介体浓度为 0.24 mmol·L<sup>-1</sup>时,反硝化过程氧化还原电位变化的试验结果如图 5 所示.

图 5 表明,4 种不同的醌类介体均可催化强化 Paracoccus versutus 菌株 GW1 的硝酸盐氮去除率,且 醌类介体的加入改变了硝酸盐氮去除过程中氧化还 原电位的变化.空白对照组稳定氧化还原电位较高 并且下降趋势较缓慢,氧化还原电位稳定在 - 310

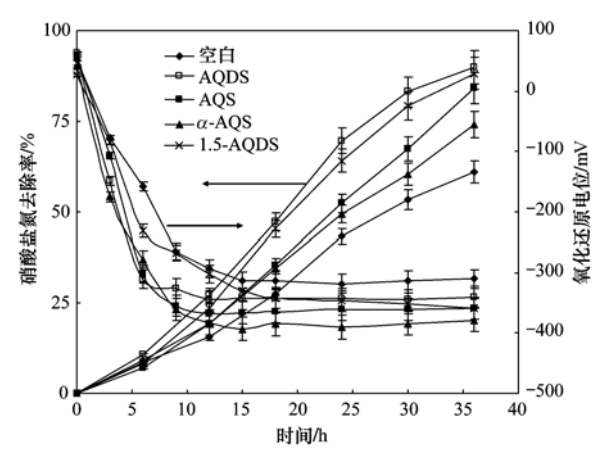


图 5 氧化还原介体加速硝酸盐降解过程中氧化还原电位的变化

Fig. 5 ORP changes in nitrate removal systems with different redox mediators

mV 左右;加入醌类介体的反硝化体系氧化还原电位下降趋势较快,可迅速降低反应体系的氧化还原电位,使体系快速进入还原性的环境. 随着反应的进行氧化还原介体逐渐使电位稳定在最终电子供体与最终电子受体之间,使反应体系的氧化还原电位更有利于反应的进行<sup>[9]</sup>. AQDS、1,5-AQDS、AQS 和α-AQS氧化还原电位分别稳定在 – 343、 – 350、 – 361和 – 385 mV.

# 2.4 醌类氧化还原介体加速 Paracoccus versutus 菌株 GW1 反硝化过程中 pH 的变化

4 种醌类介体浓度均为 0. 24 mmol·L<sup>-1</sup>时, 对 *Paracoccus versutus* 菌株 GW1 硝酸盐氮去除过程中 pH 值的影响结果如图 6 所示.

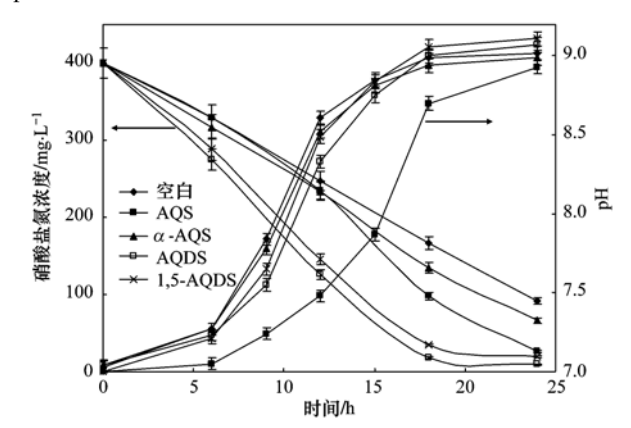


图 6 氧化还原介体加速硝酸盐降解过程中 pH 的变化

Fig. 6 Variations in pH values during the nitrate removal process with different redox mediators

图 6 表明,介体 AQDS、1,5-AQDS、α-AQS 和 AQS 催化强化硝酸盐氮降解过程中的 pH 值变化趋势与空白较一致,pH 值均随着 Paracoccus versutus 菌株 GW1 降解硝酸盐过程的进行而上升,最终 pH 值

均稳定在 9.0 左右. 这说明介体加速硝酸盐降解过程与传统的反硝化硝酸盐降解过程具有相似性<sup>[14]</sup>. 介体在加速硝酸盐氮降解过程中在醌与氢醌之间的转化可能对 pH 具有一定的缓冲作用.

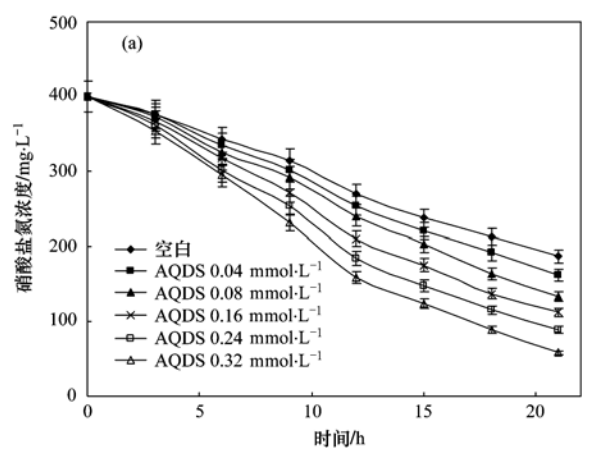
#### 2.5 AQDS 浓度对反硝化作用的影响

以加速硝酸盐氮降解效果最佳的 AQDS 为模型介体,考察介体浓度对硝酸盐氮降解速率的影响及 AQDS 浓度  $c_{AQDS}$  (mmol·L<sup>-1</sup>)与硝酸盐氮降解速率常数 K [以 NO<sub>3</sub><sup>-</sup>-N/VSS 计,g·(g·d)<sup>-1</sup>]的关系,结果如图 7 所示.

图 7 表明, AQDS 浓度为 0、0.04、0.08、0.16、0.24 和 0.32 mmol·L<sup>-1</sup>时, 硝酸盐氮降解

速率常数 K 分别为 44.6、49.9、55.7、61.0、65.9 和 71.9 g·(g·d)  $^{-1}$ . 介体浓度越高硝酸盐氮降解速率越快,且符合零级反应动力学. AQDS浓度  $\leq 0.32$  mmol·L $^{-1}$  时,零级速率常数 K [g·(g·d)  $^{-1}$ ]随着 AQDS浓度  $c_{AQDS}$  (mmol·L $^{-1}$ )的增加而增加,并呈线性关系  $K=81.398c_{AQDS}+46.799$  ( $R^2=0.9749$ ).

结果表明:在一定浓度范围内,AQDS 介体的浓度与硝酸盐氮降解速率常数呈正相关<sup>[22]</sup>. 最高硝酸盐氮负荷 71.9 g·(g·d) <sup>-1</sup>与其他反硝化过程相比介体的加入可有效提高硝酸盐氮的降解速率. 对比结果如表 1 所示.



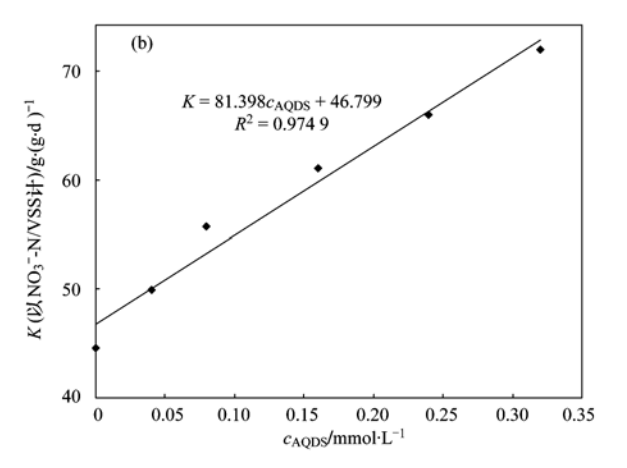


图 7 AQDS 浓度对菌株 GW1 硝酸盐氮降解速率的影响

Fig. 7 Effect of AQDS concentration on the nitrate removal ratio by strain GW1

#### 表 1 本研究与各文献资料的硝酸盐去除速率比较

Table 1 Comparison of the nitrate removal efficiency with the documented denitrification processes

碳源	负荷/g·(g·d) -1	废水类型	初始硝酸盐浓度 /mg·L <sup>-1</sup>	文献
乙酸	1. 16	不锈钢废水	2 500	[23]
醋酸钠	7. 76	人工模拟炸药厂废水	3 600	[ 24 ]
乙酸	1. 2	地表水	2 700 ~ 8 200	[ 25 ]
乙酸	45. 6	人工合成废水	>500	[26]
甲醇	0. 486	人工合成废水	400	[ 27 ]
丁二酸钠	71. 9	人工合成废水	400	本研究

#### 3 结论

- (1) Paracoccus versutus 菌株 GW1 具有醌呼吸能力,可将 4 种醌类介体 AQS、α-AQS、AQDS 和 1,5-AQDS 作为最终电子受体使其接受生物电子传递链上的电子,并且醌类介体的还原需要电子供体与醌呼吸细菌的参与.
- (2)4种结构相似的醌类介体也可作为电子传递体,加速 Paracoccus versutus 菌株 GW1 反硝化过程中的电子传递,促进总氮的去除及硝酸盐氮的降解.

当介体浓度为  $0.24 \text{ mmol} \cdot \text{L}^{-1}$ 时,介体加速反硝化快慢顺序:  $AQDS > 1,5 - AQDS > AQS > \alpha - AQS > 空$ 白,其中以 AQDS 的加速效果最为明显,可分别提高总氮去除速率 2.02 倍,硝酸盐氮降解速率 1.63 倍

(3) AQDS ≤ 0. 32 mmol·L<sup>-1</sup>时, 硝酸盐氮降解速率常数 K [g·(g·d)<sup>-1</sup>] 随 AQDS 浓度  $c_{AQDS}$  (mmol·L<sup>-1</sup>) 的增加而增加, 并呈线性关系 K = 81. 398 $c_{AQDS}$  + 46. 799 ( $R^2$  = 0. 974 9). 介体 AQDS、1,5-AQDS、 $\alpha$ -AQS 和 AQS 的加入可降低氧化还原电位 25 ~ 75 mV. 介体与对照组的 pH 值变化趋势较

一致,随着反硝化的进行 pH 逐渐上升并最终稳定在 9.0.

#### 参考文献:

- [1] 曲久辉, 范彬. 地下水脱硝[M]. 北京: 中国环境科学出版 社, 2002.
- [2] Ahn Y H. Sustainable nitrogen elimination biotechnologies: a review[J]. Process Biochemistry, 2006, 41(8): 1709-1721.
- [3] 姚厚霞. 生物脱氮技术的研究[J]. 贵州化工, 2007, **32**(3): 25-27.
- [4] Hernandez M E, Newman D K. Extracellular electron transfer [J]. Cellular and Molecular Life Sciences, 2001, 58 (11): 1562-1571.
- [5] 郭建博,周集体,王栋,等.固定化蒽醌对偶氮染料生物降解促进作用研究[J].环境科学,2006,27(10):2071-2075.
- [6] Dos Santos A B, Traverse J, Cervantes F J, et al. Enhancing the electron transfer capacity and subsequent color removal in bioreactors by applying thermophilic anaerobic treatment and redox mediators [J]. Biotechnology and Bioengineering, 2005, 89(1): 42-52.
- [7] Field J A, Cervantes F J, Van der Zee F P, et al. Role of Quinones in the Biodegradation of Priority Pollutants: a Review [J]. Water Science and Technology, 2000, 42 (5-6): 215-222
- [8] 王弋博, 武春媛, 周顺桂. 腐殖质在 Comamonas koreensis CY01 介导的 2,4-二氯苯氧乙酸还原脱氯过程中的作用[J]. 草业学报, 2011, **20**(1): 248-252.
- [ 9 ] Van der Zee F P, Cervantes F J. Impact and application of electron shuttles on the redox (bio) transformation of contaminants: a review[J]. Biotechnology Advances, 2009, 27 (3): 256-277.
- [10] 李丽华,周集体,王竞,等. 一种新型固定化介体催化强化 硝基苯的厌氧生物转化[J]. 工业水处理,2008,28(11):27-29.
- [11] 康丽,郭建博,李洪奎,等. 氧化还原介体催化强化偶氮染料脱色研究进展[J]. 河北工业科技,2010,27(6):447-450.
- [12] Guo J B, Zhou J T, Wang D, et al. Biocalalyst effects of immobilized anthraquinone on the anaerobic reduction of azo dyes by the salt-tolerant bacteria [J]. Water Research, 2007, 41(2): 426-432.
- [13] Aranda-Tamaura C, Estrada-Alvarado M I, Texier A C, et al. Effects of different quinoid redox mediators on the removal of

- sulphide and nitrate via denitrification [J]. Chemosphere, 2007, 69(11); 1722-1727.
- [14] Guo J B, Kang L, Yang J L, et al. Study on a novel nondissolved redox mediator catalyzing biological denitrification (RMBDN) technology[J]. Bioresource Technology, 2010, 101 (11): 4238-4241.
- [15] 国家环境保护局. 水和废水监测分析方法[M]. 第四版. 北京: 中国环境科学出版社, 2002.
- [16] Lovley D R, Coates J D, Blunt-Harris E L, et al. Humic substances as electron acceptors for microbial respiration [J]. Nature, 1996, 382 (6590): 445-448.
- [17] 马晨,周顺桂,庄莉,等. 微生物胞外呼吸电子传递机制研究进展[J]. 生态学报,2011,31(7):2008-2018.
- [18] 武春媛, 李芳柏, 周顺桂. 腐殖质呼吸作用及其生态学意义 [J]. 生态学报, 2009, **29**(3): 1535-1542.
- [19] Uchimiya M, Stone A T. Reversible redox chemistry of quinones: impact on biogeochemical cycles [J]. Chemosphere, 2009, 77 (4): 451-458.
- [20] Watanabe K, Manefield M, Lee M, et al. Electron shuttles in biotechnology[J]. Current Opinion in Biotechnology, 2009, 20 (6): 633-641.
- [21] 王慧勇,梁鹏,黄霞,等. 微生物燃料电池中产电微生物电子传递研究进展[J]. 环境保护科学,2009,35(1):17-20.
- [22] 方连峰, 王竞, 周集体, 等. 醌化合物强化偶氮染料的生物 脱色[J]. 中国环境科学, 2007, **27**(2): 174-178.
- [23] Fernández-Nava Y, Marañón E, Soons J, et al. Denitrification of high nitrate concentration wastewater using alternative carbon sources[J]. Journal of Hazardous Materials, 2010, 173(1-3): 682-688.
- [24] Shen J Y, He R, Han W Q, et al. Biological denitrification of high-nitrate wastewater in a modified anoxic/oxic-membrane bioreactor (A/O-MBR) [J]. Journal of Hazardous Materials, 2009, 172(2-3): 595-600.
- [25] Glass C, Silverstein J. Denitrification of high-nitrate, high-salinity wastewater [J]. Water Research, 1999, 33 (1): 223-229.
- [26] Rodríguez L, Villaseñor J, Fernández F J. Use of agro-food wastewaters for the optimisation of the denitrification process[J]. Water Science and Technology, 2007, 55(10): 63-70.
- [27] Bilanovic D, Battistoni P, Cecchi F, et al. Denitrification under high nitrate concentration and alternating anoxic conditions [J]. Water Research, 1999, 33(15); 3311-3320.

### **HUANJING KEXUE**

Environmental Science (monthly)

Vol. 33 No. 7 Jul. 15, 2012

### **CONTENTS**

Isotopic Composition and Isotope Tracing of Sulfur in Atmospheric Precipitation at the Head Area of the Three Gorges Reservoir Characterization and Reconstruction of Aerosol Light Scattering Coefficient at Chengdu During Biomass Burning and Dust Storm	
Characterization and reconstruction of Actosof Eight Scattering Coefficient at Chengou During Diomass Durining and Dust Storin	························ YUE Jian-hua. TAO Jun. LIN Ze-ijan. <i>et al.</i> ( 21
Aerosol Optical Thickness of the Atmospheric Aerosol over Taihu Lake and Its Features; Results of In-site Measurements  Seasonal Variations in the Vertical Distribution of Aerosols During Dry Haze Periods in Regions Around Shanghai	······ RAO Jia-wang, MA Rong-hua, DUAN Hong-tao, et al. (21
Size Distributions and Diurnal Variations in the Concentrations of Polycyclic Aromatic Hydrocarbons in Winter in Urban and Sul	burban Nanjing, China ·····
seasonal Distribution of Water-Soluble Inorganic Ions in the Atmospheric Aerosol in Qingdao  Collution Characteristics of Microbial Aerosols Generated from a Municipal Sewage Treatment Plant	
Estimation of the Effect Derived from Wind Erosion of Soil and Dust Emission in Tianjin Suburbs on the Central District Based Variation of Nutrient Concentrations at the Inshore Coastal Area of Northern Jiangsu Province and the Occurrence of Green Tide	
anation of Nutrient Concentrations at the historic Coastat Area of Nottnern jiangsu Frontice and the Occurrence of Green Frie	
analysis on Characteristics of Red Tide in Fujian Coastal Waters During the Last 10 Years	LI Xue-ding ( 22
Review on HSPF Model for Simulation of Hydrology and Water Quality Processes	
arameter Uncertainty Analysis for Urban Rainfall Runoff Modelling	HUANG Jin-liang, LIN Jie, DU Peng-fei ( 22
stimation of DOC Concentrations Using CDOM Absorption Coefficients; A Case Study in Taihu Lake	····· JIANG Guang-jia, MA Rong-hua, DUAN Hong-tao (22
/eight Parameters of Water Quality Impact and Risk Grade Determination of Water Environmental Sensitive Spots in Jiashan	
iurnal Variation and Evaluation of Water Quality in Different Seasons of Panxi River in Chongqing	
esponses of Wetland Water Quality to Influence the Strengthness of Urbanization in Nanjing, China	
tudies on Relationship of Phytoplankton and Water Environmental Factors in Shahu Lake	
fluence on the Spatial Distribution of Fish in Taizi River Basin by Environmental Factors at Multiple Scales	
omparison and Application of Biological Indices of Macroinvertebrates in River Health Assessment	
oatial and Temporal Distribution of Total Mercury (T-Hg) in Different Water Bodies of Nam Co, Tibetan Plateau	
emporal and Spatial Variations of Major Ions in Nam Co Lake Water, Tibetan Plateau	
trophication Control in Local Area by Physic-ecological Engineering trogenous Fluxes and Its Self-Purification Capacity in Lake Taihu	
rrogenous Fluxes and its Self-Purification Capacity in Lake Taihu sponse of Phosphorus Components in Sediments from Eutrophic Lake to External Sulfate	
atial Distribution Character of Phosphorus Fractions in Surface Sediment from Chaohu Lake	
ng-range Transport Potential of Typical Organic Pollutants in Nanjing	
stribution of Black Carbon in the Surface Sediments of the East China Sea and Their Correlations with Persistent Organic Poll	
ontamination Characteristics of Polycyclic Aromatic Hydrocarbons (PAHs) in Surface Water from Jialing River in Chongqing	
evels, Distribution and Possible Sources of Polychlorinated Biphenyls in River Sediments from an Electronic Waste Recycling	
ssessment Model for Heavy Metal Pollution in Sediment Based on Trapezoidal Fuzzy Numbers and Case Study	9.
apact of Coastal Exploitation on the Heavy Metal Contents in the Sediment of Bohai Bay	
patial Distribution and Contamination Evaluation of Heavy Metals in the Intertidal Surface Sediments of Eastern Chongming	
peciation and Vertical Distribution of Heavy Metals in Sediments of Baiyangdian Lake	
VS Concentrations in Xinan Creek and the Influencing Factors	
echanism of NH <sub>4</sub> <sup>+</sup> -N Removal in Drinking Water Biofilter	
naracterization and Thermodynamic Properties of Cu( II ) Imprinted Chitosan Crosslinked Membrane	
udies on the Degradation of Paracetamol in Sono-electrochemical Oxidation	
udy on Treatment of Methylene Blue Wastewater by Fly Ash Adsorption-Fenton and Thermal Regeneration	
ectricity Generation Performance of Two-Chamber Microbial Full Cell in the Treatment of Simulated Wastewater	
eparation and Characterization of Zn/Cr-LDHs and Their Removal Performances of Reactive Brilliant Orange X-GN	
ansport Processes of Low-level Radioactive Liquid Effluent of Nuclear Power Station in Closed Water Body	
alysis of Carbon Balance and Study on Mechanism in Anoxic-Oxic-Settling-Anaerobic Sludge Reduction Process	
fect of Mixed Carbon Sources in the Granulation Process of EBPR System  ocatalyst of Redox Mediators on the Denitrification by Paracoccus versutus Strain GW1	
lation of a High Hydrogen-producing Mutant TB34 Generated by Transposon Insertion and Analysis of Hydrogen Production	· · · · · · · · · · · · · · · · · · ·
nation of a riigh rhydrogen-producing mutant 1654 Generated by Transposon Insertion and Analysis of rhydrogen Production ndition Optimization for Degradation of Chlorophenols Using Laccase from Amillariella mellea	
aracterization of CH <sub>4</sub> , N <sub>2</sub> O Emission and Selection of Rice Cultivars in Double Cropping Rice Fields	
ort-term Effects of Exogenous Nitrogen on CH <sub>4</sub> and N <sub>2</sub> O Effluxes from Cyperus malaccensis Marsh in the Min River Estuary	
mporal-spatial Variations of Total Nitrogen in the Degraded Grassland of Three-River Headwaters Region in Qinghai Province	• • • • • • • • • • • • • • • • • • • •
emporal Variations of Clay Content in Eroded Sediment Under Different Rainfall Condition	
Tects of Soil Properties on the Stabilization Process of Cadmium in Cd Alone and Cd-Pb Contaminated Soils	
-situ Remediation of Polychlorinated Biphenyls Polluted Soil by Ecological Controlling Measures: A Field Trial	
haracterization Comparison of Polycyclic Aromatic Hydrocarbon Uptake by Roots of Different Crops	LIANG Xiao, ZHAN Xin-hua, ZHOU Li-xiang (25
haracteristics and Mechanism of Sodium Removal by the Synergistic Action of Flue Gas and Waste Solid	
Decomposition Model of Energy-Related Carbon Emissions in Tertiary Industry for China	

### 《环境科学》第6届编辑委员会

主 编:欧阳自远

副主编:赵景柱 郝吉明 田 刚

编 委:(按姓氏笔画排序)

万国江 王华聪 王凯军 王绪绪 田 刚 田 静 史培军

朱永官 刘志培 汤鸿霄 陈吉宁 孟 伟 周宗灿 林金明

欧阳自远 赵景柱 姜 林 郝郑平 郝吉明 聂永丰 黄 霞

黄耀 鲍强潘纲潘涛魏复盛

### 环维种草

### (HUANJING KEXUE)

(月刊 1976年8月创刊) 2012年7月15日 33卷 第7期

### ENVIRONMENTAL SCIENCE

(Monthly Started in 1976)

Vol. 33 No. 7 Jul. 15, 2012

主	管	中国科学院	Superintended	by	Chinese Academy of Sciences	
主	办	中国科学院生态环境研究中心	Sponsored	by	Research Center for Eco-Environmental Sciences, Chinese	
协	办	(以参加先后为序)			Academy of Sciences	
		北京市环境保护科学研究院	Co-Sponsored	by	Beijing Municipal Research Institute of Environmental	
		清华大学环境学院			Protection	
主	编	欧阳自远			School of Environment, Tsinghua University	
编	辑	《环境科学》编辑委员会	Editor-in -Chief		OUYANG Zi-yuan	
⊃mj	7-7	北京市 2871 信箱(海淀区双清路	Edited	by	The Editorial Board of Environmental Science (HUANJING	
		18号,邮政编码:100085)			KEXUE)	
		电话:010-62941102,010-62849343			P. O. Box 2871, Beijing 100085, China	
		传真:010-62849343			Tel: 010-62941102,010-62849343; Fax: 010-62849343	
		E-mail; hjkx@ rcees. ac. cn			E-mail: hjkx@ rcees. ac. cn	
	http://www. hjkx. ac. cn				http://www. hjkx. ac. cn	
出	版	4 4 4 k 社	Published	by	Science Press	
щ	/IX	北京东黄城根北街 16 号			16 Donghuangchenggen North Street,	
		邮政编码:100717			Beijing 100717, China	
印刷装	印刷装订 北京北林印刷厂		Printed	by	Beijing Bei Lin Printing House	
发	行	4 华出版社	Distributed	by	Science Press	
		电话:010-64017032			Tel:010-64017032	
		E-mail: journal@ mail. sciencep. com			E-mail: journal@ mail. sciencep. com	
订 购	处	全国各地邮电局	Domestic		All Local Post Offices in China	
<b>国外总发行</b> 中国国际图书贸易总公司			Foreign		China International Book Trading Corporation (Guoji	
		(北京 399 信箱)			Shudian), P. O. Box 399, Beijing 100044, China	

中国标准刊号: ISSN 0250-3301 CN 11-1895/X

国内邮发代号: 2-821

国内定价:70.00元

国外发行代号: M 205

国内外公开发行